Визуализация динамических систем на примере аттрактора Лоренца

Т.А. Сибирякова, К.А. Шишмарев

АлтГУ, г. Барнаул

Рассматривается полная система гидродинамики записывается в приближении Буссинеска [1]

$$\begin{cases} \frac{du}{dx} = -\frac{1}{\rho} \nabla p + \nu \Delta u + \rho g, \\ \frac{d\rho}{dx} + \rho divu = 0, \\ \frac{dT}{dx} = k \nabla^2 T, \\ div \ u = 0, \end{cases}$$
 (1)

где u — скорость течения, ρ — плотность, p — давление, T — температура жидкости, v — коэффициент кинематической вязкости, g - сила тяжести, T_0 — температура верхней границы, H — высота жидкости, α — коэффициент теплового расширения, k — коэффициент температуропроводности. Введем обозначения $\frac{1}{\rho}\nabla p=P, \frac{dx}{dt}=u, \frac{dy}{dt}=v, \frac{dz}{dt}=w$. Разложим вектор скорости на проекции осей в соответствии с системой уравнений (1). Для упрощения задачи предлагается ограничить развитие конвективных движений только в плоскости хОz, u, следовательно, уравнения для конвекции переписываются в следующем виде:

$$\frac{\partial u}{\partial t} + \frac{\partial u}{\partial x}u + \frac{\partial u}{\partial z}w + \frac{\partial P}{\partial x} - \nu\nabla^2 u = 0, \tag{2}$$

$$\frac{\partial w}{\partial t} + \frac{\partial w}{\partial x}u + \frac{\partial w}{\partial z}w + \frac{\partial P}{\partial z} - \nu\nabla^2 w - g\alpha T = 0, \quad (3)$$

$$\frac{\partial T}{\partial t} + \frac{\partial T}{\partial x}u + \frac{\partial T}{\partial z}w - k\nabla^2 T = 0, \tag{4}$$

$$\frac{\partial u}{\partial x} + \frac{\partial w}{\partial z} = 0. ag{5}$$

В силу равенства (5) можем определить функцию тока следующим образом

$$u = -\frac{\partial \psi}{\partial z}, \quad w = \frac{\partial \psi}{\partial x},$$
 (6)

Температурное отклонение Т раскладывается на среднее значение по горизонтали и отклонение от него. В свою очередь, мы можем расширить Т на часть, представляющую линейную вариацию между верхней и нижней границами, и отклонение от этой линейной вариации. Будем считать, что температура на верхней и нижней границах поддерживается внешним нагревом постоянной. Исключаем Р из (2) и (3), вводим (6) и соотношение для температуры, и вводя дальнейшее упрощение, записав нелинейные адвективные члены якобианского оператора, переписываем систему уравнений. Далее уравнения раскладываются в ряды Фурье и "обрезаются" с точностью до первых гармоник, что в определенной мере оправдано, так как Сольцмен в своей работе продемонстрировал, что поведение большинства гармоник не вносит большого вклада в развитие системы. [1,2]

$$\alpha(1+\alpha^2)^{-1}k^{-1}\psi = X\sqrt{2}\sin\left(\frac{\pi\alpha x}{H}\right)\sin\left(\frac{\pi z}{H}\right),\tag{10}$$

$$\pi R_c^{-1} R_\alpha \nabla T^{-1} \theta = Y \sqrt{2} \cos \left(\frac{\pi \alpha x}{H} \right) \sin \left(\frac{\pi z}{H} \right) - Z \sin \left(2 \frac{\pi z}{H} \right), \tag{11}$$

где $R_c=\pi^4\alpha^{-2}(1+\alpha^2)^3$, $R_\alpha=g\alpha H^3\Delta T_\nu^{-1}k^{-1}$, θ — отклонение температуры.

После чего уравнения (21) и (22) подставляются в систему уравнений Буссинеска, выражаются функции х, у и z и, переобозначая параметры, получаем систему уравнений

$$\begin{cases} \frac{dx}{dt} = \sigma(y-x),\\ \frac{dy}{dt} = x(r-z) - y,\\ \frac{dz}{dt} = xy - bz, \end{cases}$$
 где $\sigma = k^{-1}v$, $b = 4(1+\alpha^2)^{-1}$, $r = R_c^{-1}R_\alpha$.

Анализ неподвижных точек на устойчивость

Найдем неподвижные точки системы уравнений Лоренца. Находим 3 неподвижные точки $O=(0,0,0), O1=(\sqrt{b(r-1)},\sqrt{b(r-1)},r-1), O2=(-\sqrt{b(r-1)},-\sqrt{b(r-1)},r-1).$

Рассмотрим при каких значениях параметров найденные неподвижные точки являются устойчивыми и неустойчивыми. Линеаризуем систему уравнений и далее уравнения можно решать в виде задачи на собственные числа. Условием существования нетривиального решения является равенство нулю определителя. Для точки О получаем, что при r < 1 неподвижная точка является устойчивой (устойчивый узел), а при r > 1 неустойчивой (неустойчивый седло-узел).

Для точек O1 и O2, которые существуют при r>1, исследование уравнения показывает, что при r немного превышающих 1, все 3 собственных числа отрицательны (устойчивые точки являются устойчивыми узлами). При дальнейшем увеличении r знак меняется и это момент потери устойчивости состояниями O1 и O2.

Рассмотрим изменения в поведении решения системы Лоренца при различных параметрах г.

При r>0 и r<1 система имеет только одну критическую точку. Любое начальное состояние приближается к началу координат при t стремящемся к бесконечности. При r близкой к 1 возникает критическое замедление. Когда r превышает значение 1, происходит первая бифуркация. Начало координат теряет устойчивость и от него ответвляются два аттрактора, оба глобально и локально устойчивы (Рисунок 1a).

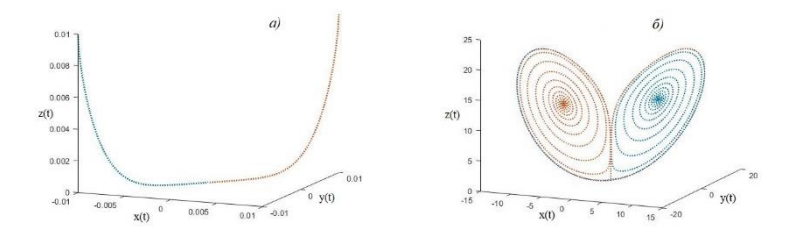


Рисунок 1 — Траектории системы Лоренца для a) r = 0.5, б) r = 13.927.

При некотором значении r = 13,927 происходит перестройка структуры потока фазовых траекторий, которая не сводится к локальным изменениям в окрестности какой-то одной точки фазового пространства. Переход параметра r через указанное значение никак не отражается на свойствах стационарных режимов, отвечающих аттракторам O1 и O2. Однако в глобальной структуре фазового пространства происходят существенные изменения (Рисунок 1б).

Следующая существенная нелокальная бифуркация происходит при r=24,06. Траектории асимптотически приближаются к неустойчивым предельным циклам, возникает уже притягивающее множество сложной структуры –странный аттрактор Лоренца. Отметим, что состояния O1 и O2 все еще остаются устойчивыми, и в интервале г от 24,06 до 24,74 в системе существует три аттрактора. Далее неподвижные точки теряют устойчивость и аттрактор Лоренца остается единственным притягивающим множеством.

При г = 28 – классические значения параметров, при которых обычно проводят исследование системы Лоренца для задачи конвекции морской воды в плоском слое (Рисунок 2).

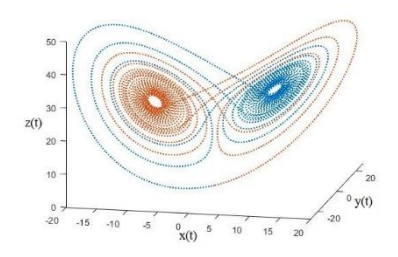


Рисунок 2. Траектории системы Лоренца для r = 28.

В случае увеличения г до 100 наблюдается автоколебательный режим. При г >= 313 система находится в единственном устойчивом предельном симметричном аттракторе.

Заключение

Рассмотрена система уравнений Буссинеска, описывающая конвекцию жидкости. Изучен алгоритм решения с помощью функции тока и разложения в ряд Фурье системы уравнений Буссинеска и сведения ее к системе уравнений Лоренца. Проведен анализ неподвижных точек на устойчивость. Описано поведение решения системы Лоренца при изменениях параметра г.

Работа выполнена в рамках государственного задания Министерства науки и высшего образования $P\Phi$ по теме «Современные методы гидродинамики для задач природопользования, индустриальных систем и полярной механики» (номер темы: FZMW-2020-0008).

Библиографический список

- 1. Lorenz, Edward N. (1963). «Deterministic Nonperiodic Flow». Journal of the Atmospheric Sciences 20: 130–141.
- 2. Saltzman, Barry (1962). «Finite Amplitude Free Convection as an Initial Value Problem– I». Journal of the Atmospheric Sciences 19 (4): 329–341.